

ТКАЧЕНКО В.Н., НТУ «ХПИ» (г. Харьков)

ВЛИЯНИЕ СИЛ ЗАЦЕПЛЕНИЯ И ГЕОМЕТРИЧЕСКОЙ НЕЛИНЕЙНОСТИ НА НАПРЯЖЕНИЯ В ЗУБЧАТОМ ВЕНЦЕ ГИБКОГО КОЛЕСА ВОЛНОВОЙ ЗУБЧАТОЙ ПЕРЕДАЧИ

В статті наведені підсумки досліджень впливу сил зацеплення та геометричної нелінійності на напруження в зубчастім вінці гнучкого колеса хвильової передачі.

The article presents the results investigation influence force interaction and geometrical unlinearity on tension in supple wheels harmonic drive.

Величины напряжений в нормальном сечении между зубьями венца гибкого колеса волновой зубчатой передачи (ВЗП) можно представить в виде суммы

$$s = s_u + \Delta s_m + \Delta s_m;$$

где s_u – напряжения, возникающие от деформации гибкого колеса генератором,

Δs_m – приращение напряжений, вызванное нагружением гибкого зубчатого колеса (ГЗК) передаваемым вращающим моментом, Δs_m – приращение напряжений во впадинах между зубьями венца, возникающее из-за того, что силы зацепления приложены в областях, не лежащих в срединной поверхности ГЗК.

В вершине волны деформации, где нормальные напряжения максимальны, касательные пренебрежимо малы, так как грани зубьев гибкого колеса, находящихся в полном зацеплении с зубьями жесткого колеса, параллельны оси ГКВЗП.

Рассмотрим влияние параметров гибкого колеса на величину приращения Δs_m . Результаты исследования взаимодействия зубьев гибкого и жесткого колес ВЗП [1] позволяют принять при расчетах ряд допущений.

1. Нагрузка передается 20 ÷ 40% всего числа зубьев ГК.
2. Силы зацепления распределяются по угловой координате с законом, близким к косинусоидальному, если угол отсчитывается от максимальной радиальной деформации.
3. Область действия локального изгибающего момента M_φ не превышает угла φ , соответствующего двум зубьям.

Напряжения Δs_m во впадине между i и $i + 1$ зубьями

$$\Delta S_m = \Delta S_m(M_{q,i}) - \Delta S_m(M_{q,i+1}),$$

так как изгибающие моменты $M_{q,i}$ и $M_{q,i+1}$ одинакового знака.

Предположим, что в двухволновой передаче зацепление реализуется в двух областях по 30° каждая, что составляет 17...18% всех зубьев ГК. Очевидно, что такое предположение идет в запас прочности.

Погонная касательная нагрузка $T = T_{\max} \cos 6q$. Крутящий момент $M_k = 4R^2 \int_0^{p/12} T_{\max} \cos 6q dq$, так, что $T_{\max} = 1,5M_{kp} / R^2$, где R - радиус срединной поверхности ГК до деформации его генератором.

Касательное усилие $S = T \cdot \Delta l$, где $\Delta l = 2pR / z$.

В вершине волны деформации плечо силы S можно принять равным модулю m

$$M_{qB} = S \cdot m = 6pM_k \cos 6q / z^2.$$

Графики, приведенные в работе [2], позволяют связать величину внешнего момента M_{qB} с возникающим в $3B$ внутренним изгибающим моментом M_ξ .

$$M_\xi = 0,22M_{qB} / \Delta l,$$

так, что

$$\Delta S_\xi = 6M_\xi / H^2 \cong 4M_k \cos 6q / Rz \cdot H^2,$$

где H - толщина $3B$ во впадине между зубьями.

Величина момента M_k связана с диаметром ГК соотношением $M_k = \kappa \cdot d^3$, где κ по заданным [1] изменяется от 2,5 до 3. Соотношение R/H примем равным 50, минимальное число зубьев $z = 100$, так что приращение напряжений от действия сил зацепления между зубом, к которому приложена максимальная сила S_{\max} и соседним зубом, на который действует сила S

$$\Delta S_\xi = \Delta S_\xi(S_{\max}) - \Delta S_\xi(S),$$

получается с вышеприведенными допущениями не более 15 МПа.

Таким образом, напряжения ΔS_ξ - оцененные сверху, на порядок меньше напряжений $S_u + \Delta S_m$ от изгиба ГК.

В связи с тем, что толщина ГК ВЗП соизмерима с максимальными радиальными перемещениями W_{\max} , необходимо учитывать влияние

геометрической нелинейности на величины нормальных напряжений. Для этого определим зависимость между приближенным и точным нелинейным решением для изгибающего момента M_{qu} в ЗВ исходя из того, что величина M_{qu} определяется изменением кривизны в плоскости, перпендикулярной оси ГК.

Как для цилиндрической оболочки, так и для кольца изменение изгибающего момента M_{qu} определяется изменением кривизны.

Определим изменение кривизны в зависимости от изменения соотношения W/R в линейной и геометрически нелинейной постановках задачи и сравним полученные результаты.

Линеаризованное уравнение для изменения кривизны имеет вид:

$$\Delta K_{л} = -\frac{1}{R^2} \left(\frac{d^2 W}{dq^2} + W \right).$$

Нелинеаризованное уравнение для кривизны в параметрической форме имеет вид:

$$K = \frac{|r^2 + 2r'^2 - r \cdot r''|}{(r^2 + r'^2)^{3/2}},$$

где $r(q) = R + W(q)$.

Соответственно $\Delta K_H = K - 1/R$.

Для определения характера изменения соотношения $\Delta K_{л}/\Delta K_H$, в зависимости от W/R , рассмотрим вторую гармонику перемещения $W = W(q)$, определяющую, в основном, нормальные напряжения изгиба для двухволнового генератора волн деформации.

Обозначим $\Delta = a_2/R$, где a_2 - амплитуда второй гармоники. Тогда

$$\frac{\Delta K_{л}}{\Delta K_H} = \frac{M_{л}}{M_H} = 3\Delta \cos 2q / \left[\frac{|1 + 6\Delta \cos 2q + S\Delta^2 + 3\Delta^2 \sin^2 2q|}{(1 + 2\Delta \cos 2q + \Delta^2 + 3\Delta^2 \sin 2q)^{3/2}} - 1 \right].$$

Величина приведенного соотношения определялась в зависимости от Δ в интервале от 0,001 до 0,1.

Полученное в виде таблицы для угла $q = 0$ и $q = p/2$ рассматриваемое соотношение хорошо аппроксимируется зависимостью

$$\frac{\Delta K_n}{\Delta K_H} = 1 + 2,333 \left| 1 - 4q/p \right| \cdot a_2/R.$$

Анализируя полученные результаты, приходим к выводу, что нормальные напряжения от изгиба ГК генератором волн, вычисленные с использованием приближенных, геометрически линейных зависимостей, превосходят по величине такие же напряжения, для вычисления которых используются нелинеаризованные соотношения. В результате геометрической линеаризации возникает погрешность, которая идет в запас прочности.

$$|s_{qH}| = |s_{qл}| / \left(1 + 2,333 \left| 1 - 4q/p \right| \cdot a_2/R \right).$$

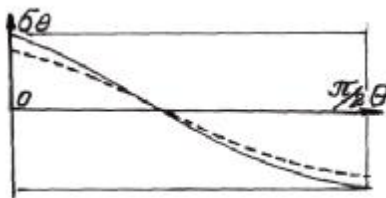


Рисунок 1

На рис. 1 сплошная линия соответствует напряжениям, вычисленным по линеаризованным зависимостям, а пунктирная – с учетом геометрической нелинейности.

В диапазоне рекомендуемых соотношений W_{\max}/R погрешность вычислений напряжений s_u не превосходит $5 \div 7\%$, а в вершине волны деформации, где гибкое и жесткое зубчатые колеса входят в полное зацепление, упомянутая погрешность частично компенсируется неучетом напряжений Δs_m .

Список литературы: 1. Иванов М.Н. Волновые зубчатые передачи. – М.: Высшая школа, 1981. – 184 с. 2. Даревский В.М. Определение перемещений и напряжений в цилиндрической оболочке при локальных нагрузках // Сб. статей «Прочность и динамика авиационных двигателей». – 1984. – Вып. 1.

Поступила в редколлегию 01.04.2009